

М.А. Тищенко, Д.А. Кордубан

Эффективная аффинная аппроксимация в метрике L_1

Предложен эффективный алгоритм поиска оптимального в терминах метрики L_1 аффинного преобразования одного вектора в другой, открывающий возможности к применению метрики L_1 в задачах, где она не использовалась.

An efficient algorithm of the search for the optimal affine transformation of a vector to another one in terms of L_1 metric is suggested. The algorithm unveils the possibility of exploiting L_1 metric in problems where it was not used.

Запропоновано ефективний алгоритм пошуку оптимального в термінах метрики L_1 афінного перетворення одного вектора в інший, який дозволяє використовувати метрику L_1 в задачах, де вона не використовувалася.

Введение. Метрики L_1 и L_2 – едва ли не самые распространенные во многих областях прикладной математики, и, в частности, в структурном распознавании. Каждая из них, в контексте тех или иных задач, имеет как преимущества, так и недостатки. Один из недостатков метрики L_2 , применительно к задачам аппроксимации экспериментальных данных, – существенное влияние «выбросов» на результат аппроксимации [1], в то время как метрика L_1 этого лишена. В свою очередь, преимуществом метрики L_2 в сравнении с L_1 является то, что во многих случаях задачи, сформулированные в этой метрике, аналитически разрешимы. Благодаря этому преимуществу, метрика L_2 широко применялась как на заре структурного распознавания [2, 3], так и в более поздних работах [4–6]. В частности, задача аффинной аппроксимации, т.е. минимизации функции вида:

$$\sum_{i=1}^n \|x_i - a \cdot y_i - b\| \quad (1)$$

в метрике L_2 может быть решена аналитически. В то же время при постановке в метрике L_1 даже построение эффективного алгоритма решения этой задачи выглядит довольно проблематично. В данной статье не ставится и тем более не решается вопрос о том, какую из указанных метрик следует применять. В ней предлагается итеративный алгоритм решения задачи минимизации функции (1) в метрике L_1 , который в наихудшем случае работает за время порядка $O(n^2)$.

Постановка и анализ задачи

Пусть задано два вектора $x = (x_1, x_2, \dots, x_n)^T \in R^n$ и $y = (y_1, y_2, \dots, y_n)^T \in R^n$. Необходимо най-

ти параметры a и b , доставляющие минимум функции:

$$F(a, b) = \sum_{i=1}^n |x_i - a \cdot y_i - b|. \quad (2)$$

Отметим, что функция (2) обладает таким свойством, что поиск минимизирующих ее параметров a и b достаточно проводить лишь по тем их значениям, которые обращают в ноль по крайней мере два слагаемых в сумме (2). Более строго это утверждение формулируется в лемме 2. Лемма 1 представляет собой вспомогательное утверждение, необходимое для доказательства леммы 2.

Лемма 1. Пусть задано два вектора $x = (x_1, x_2, \dots, x_n)^T \in R^n$ и $y = (y_1, y_2, \dots, y_n)^T \in R^n$, а также функция $f: R \rightarrow R$ вида:

$$f(a) = \sum_{i=1}^n |x_i - a \cdot y_i|.$$

Тогда существует такой индекс j и такое значение a^* , что

$$x_j - a^* \cdot y_j = 0,$$

и

$$f(a^*) = \min_a f(a).$$

Лемма 2. Пусть a^* и b^* – значения параметров a и b соответственно, при которых (2) достигает минимума. Тогда существуют такие a' и b' , что для некоторых двух различных индексов j и k выполняется требование: $x_j - a' \cdot y_j - b' = 0$ и $x_k - a' \cdot y_k - b' = 0$ и соблюдается равенство $F(a^*, b^*) = F(a', b')$.

Доказательство. Предположим, что значения a^* и b^* не обращают в ноль ни одно сла-

гаемое из (2). В противном случае следует перейти к п. 2 доказательства.

Рассмотрим (2) как функцию от a при фиксированном значении $b = b^*$. В силу леммы 1 найдется такое значение a' , что $F(a', b^*) = F(a', b')$ и для некоторого индекса j выполняется:

$$x_j - a' \cdot y_j - b^* = 0.$$

Следовательно, без потери общности можно считать, что параметры a^* и b^* обращают в ноль по крайней мере одно слагаемое в (2).

Теперь мы имеем значения параметров a^* и b^* , обращающие в ноль по крайней мере одно слагаемое из суммы (2). Предположим, что такое слагаемое единственно. В противном случае требование леммы уже выполняется. Обозначим через j индекс этого слагаемого. Рассмотрим множество таких пар (a, b) , при которых j -е слагаемое обращается в ноль:

$$x_j - a \cdot y_j - b = 0. \quad (3)$$

Это множество задается зависимостью

$$b = x_j - a \cdot y_j. \quad (4)$$

Подставим это значение b в (2):

$$F(a, j) = \sum_{i=1}^n |x_i - x_j - a \cdot (y_i - y_j)|. \quad (5)$$

В силу леммы 1 существует такое значение a' , что $F(a^*, j) = F(a', j)$ и для некоторого $k \neq j$ выполняется равенство:

$$x_k - x_j - a' \cdot (y_k - y_j) = 0.$$

Следовательно, мы нашли такие значения a' и $b' = x_j - a' \cdot y_j$, что $F(a^*, b^*) = F(a', b')$ и для некоторых двух различных индексов j и k выполняется требование: $x_j - a' \cdot y_j - b' = 0$ и $x_k - a' \cdot y_k - b' = 0$.

Лемма доказана.

Из леммы 2 непосредственно следует алгоритм поиска оптимальных значений параметров a и b , сложности $O(n^3)$. Проводится перебор по всем парам индексов i и $j, j > i$. На основании системы уравнений:

$$\begin{cases} x_i - a_{ij} \cdot y_i - b_{ij} = 0 \\ x_j - a_{ij} \cdot y_j - b_{ij} = 0 \end{cases} \quad (6)$$

определяются параметры a_{ij} и b_{ij} . Из множества параметров $P = \{(a_{ij}, b_{ij}) : i = 1, \dots, n-1; j = i+1, \dots, n\}$ путем прямого перебора выбирается пара (a_{ij}, b_{ij}) , доставляющая минимум функции (2). С учетом леммы 1 это и будет решением задачи.

Множество P содержит $\frac{n^2 - n}{2}$ элементов.

Для подсчета значения функции (2) при некоторых фиксированных значениях a и b необходимо порядка n операций. Таким образом, получаем сложность $O(n^3)$.

В следующем разделе указан более эффективный алгоритм решения задачи (2).

Эффективный алгоритм решения задачи Решение задачи в одномерном случае

Рассмотрим задачу минимизации функции (5) по переменной a . В силу леммы 1 минимум этой функции достаточно искать при таких значениях параметра a , при которых по крайней мере одно из слагаемых в (5) равно нулю. Обозначим множество таких значений параметра a через $A(j) = \{a : \exists i : x_i - x_j - a \cdot (y_i - y_j) = 0\}$.

Запишем выражение для производной слева функции (5):

$$F'(a-0, j) = \sum_{i: x_i - x_j - a(y_i - y_j) < 0} (y_i - y_j) - \sum_{i: x_i - x_j - a(y_i - y_j) > 0} (y_i - y_j). \quad (7)$$

Обозначим разности $x_i - x_j$ и $y_i - y_j$ через \tilde{x}_i и \tilde{y}_i соответственно¹. Перепишем в этих обозначениях выражение (7) не указывая, для удобства, зависимости от j :

$$F'(a-0) = \sum_{i: \tilde{x}_i - a \tilde{y}_i < 0} \tilde{y}_i - \sum_{i: \tilde{x}_i - a \tilde{y}_i > 0} \tilde{y}_i. \quad (8)$$

Без потери общности предположим, что $\tilde{y}_i > 0$ для всех $i = 1, \dots, n$. Тогда (8) можно переписать в виде:

¹ В случае когда требуется минимизировать не (2), а функцию вида: $F(a, b) = \sum_{i=1}^n |x_i - a \cdot y_i - b \cdot z_i|$, можно применить подобные рассуждения. Тогда через \tilde{x}_i и \tilde{y}_i следует обозначить величины: $\tilde{x}_i = x_i - \frac{x_j z_i}{z_j}, \tilde{y}_i = y_i - \frac{y_j z_i}{z_j}$.

$$F'(a-0) = \sum_{i: a > \frac{\tilde{y}_i}{\tilde{y}_i}} \tilde{y}_i - \sum_{i: a < \frac{\tilde{y}_i}{\tilde{y}_i}} \tilde{y}_i. \quad (9)$$

При наименьших значениях a из $A(j)$ все $\tilde{y}_i, i=1, \dots, n$ будут содержаться во второй сумме выражения (9), и, следовательно, производная $F'(a-0)$ будет отрицательной. При увеличении a количество слагаемых во второй сумме выражения (9) будет уменьшаться, а в первой – увеличиваться. При некотором значении a' параметра a наступит одно из следующих событий:

- производная станет положительной:

$$F'(a'-0) > 0, \quad (10)$$

- производная станет равной нулю:

$$F'(a'-0) = 0. \quad (11)$$

Если имеет место первый случай, то минимум функции (5) достигается при единственном значении параметра a , а именно при $a^* = \text{prev}(a')$, где $\text{prev}(a')$ – предшествующий a' по величине элемент множества $A(j)$. Если же имеет место второй случай, то минимум достигается на интервале $[\text{prev}(a'), a']$.

На основании изложенных соображений построим алгоритм, выдающий оптимальное значение параметра a^* и множество индексов:

$$I(a^*, j) = \{i: x_i - x_j - a^* \cdot (y_i - y_j) = 0, i \neq j\}. \quad (12)$$

Предположим, что имеется алгоритм, который указывает a^* . Такой алгоритм, для случая, когда все \tilde{y}_i в (9) равны единице, описан в [7] и назван в данном источнике *Select*. Его сложность составляет $O(n)$. В [7] имеется также рандомизированная версия этого алгоритма – *Randomized_Select*, для которого $O(n)$ – ожидаемое время работы. Второй из указанных алгоритмов – более практичный, так как в его асимптотической оценке скрыта меньшая константа. Оба эти алгоритма легко обобщаются на случай произвольных \tilde{y}_i . Опишем обобщение алгоритма *Randomized_Select*.

Алгоритм 0

Шаг 1. Сформировать рабочий массив пар:

$$A = \left[\left[\frac{\tilde{x}_i}{\tilde{y}_i}, \tilde{y}_i \right], i = 1, \dots, n \right].$$

Первый элемент i -й пары назовем ключом, а второй – значением, и обозначим соответственно $k(A[i])$, и $v(A[i])$.

Задать границы обрабатываемой области массива A :

$$\text{head} := 1, \text{tail} := n.$$

Шаг 2. Случайным образом выбрать элемент q в подмассиве $A[\text{head} \dots \text{tail}]$. Преобразовать подмассив $A[\text{head} \dots \text{tail}]$ таким образом, чтобы:

$$k(A[i]) \leq k(q), \text{head} \leq i \leq \text{index}(q);$$

$$k(A[i]) > k(q), \text{index}(q) < i \leq \text{tail},$$

где $\text{index}(q)$ – индекс элемента q в преобразованном подмассиве.

Шаг 3. Подсчитать суммы элементов массива A , расположенных по левую и правую стороны от q :

$$s_l = \sum_{i=1}^{\text{index}(q)} v(A[i]), \quad s_r = \sum_{i=\text{index}(q)+1}^n v(A[i]).$$

Шаг 4. Если $s_l = s_r$, завершить работу алгоритма, и в качестве ответа выдать $a^* := k(q)$. Если $s_l < s_r$, передвинуть начало обрабатываемой области массива A :

$$\text{head} := \text{index}(q) + 1.$$

Если $s_l > s_r$, передвинуть конец обрабатываемой области массива A :

$$\text{tail} := \text{index}(q) - 1.$$

Если $\text{head} = \text{tail}$, завершить работу алгоритма, и в качестве ответа выдать $a^* := k(A[\text{head}])$. В противном случае перейти к шагу 2.

В [7] изложено доказательство того факта, что алгоритм *Randomized_Select* работает в среднем за время $O(n)$. Это доказательство может быть механически перенесено на алгоритм 0.

На основании значения a^* , выданного алгоритмом 0, можно построить множество $I(a^*, j)$ при помощи следующего простого алгоритма.

Алгоритм 1

Шаг 1. Получить значение a^* с помощью алгоритма 0.

Шаг 2. Построить множество $I(a^*, j)$:

$$I(a^*, j) = \left\{ i: \frac{x_i - x_j}{y_i - y_j} = a^* \right\}. \quad (13)$$

Решение задачи в двумерном случае

Построим алгоритм, который находит минимум функции (2) путем последовательного применения алгоритма 1 к функции (5).

Алгоритм 2

Шаг 1. Определим множество $V = \emptyset$ индексов слагаемых из суммы (2), которые уже обработаны алгоритмом. Выберем из этой суммы какое-либо из слагаемых. Пусть оно соответствует индексу j . Добавим индекс j к множеству V .

Будем рассматривать такие значения параметров a и b , которые обращают в ноль j -е слагаемое (рис. 1):

$$x_j - a \cdot y_j - b = 0. \quad (14)$$

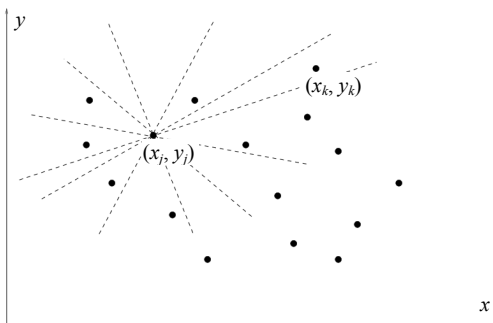


Рис. 1. Иллюстрация работы алгоритма 2. Различные прямые соответствуют различным значениям параметров a и b , обращающим в ноль j -е слагаемое из (2)

Выразив b из (14) и подставив в (2) получим (5), т.е. функцию, минимизируемую алгоритмом 1. Применяв его, найдем такое значение a^* параметра a и множество $I(a^*, j)$ (рис. 2), что:

$$a^* = \arg \min_a F(a, j).$$

Шаг 2. Выберем из множества $I(a^*, j)$ еще не обработанные элементы:

$$I(a^*, j) := I(a^*, j) \setminus (I(a^*, j) \cap V).$$

Последовательно применим алгоритм 1 к элементам множества $I(a^*, j)$, добавляя соответ-

ствующие индексы в множество V до тех пор, пока найдем такой индекс $k \in I(a^*, j)$, что:

$$\min_a F(a, k) < F(a^*, j), \quad (15)$$

либо просмотрим все элементы множества.

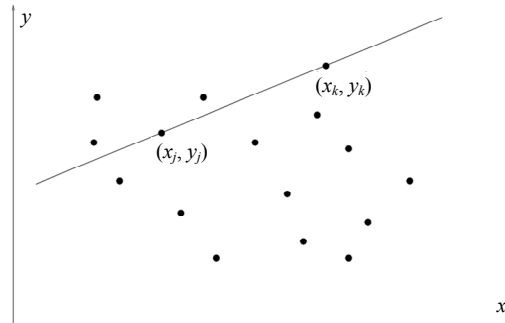


Рис. 2. Иллюстрация работы алгоритма 2. Пара точек, через которые проходит прямая, соответствует двум слагаемым, обращающимся в ноль при текущих значениях параметров a и b

Шаг 3. Если в множестве $I(a^*, j)$ не существует индекса k , удовлетворяющего (15), то алгоритм заканчивает свою работу и выдает результат – значения параметров (a^*, b^*) , $b^* = x_j - a^* \cdot y_j$. В противном случае алгоритм переходит к шагу 2 с новыми значениями a^* и j :

$$a^* := \arg \min_a F(a, k), \\ j := k.$$

В процессе выполнения алгоритма множество V монотонно увеличивается, следовательно алгоритм 2 закончит работу за количество шагов, не превосходящее размерности пространства, в котором определены вектора x и y .

В худшем случае алгоритм 2 выполнит n вызовов алгоритма 1, просмотрев все n возможных значений индекса j в (5). Первый шаг алгоритма 1 выполняется за время порядка $O(n)$ [7]. Второй его шаг также выполняется за линейное по n время. Таким образом, алгоритм 2 в худшем случае выполнится за $O(n^2)$.

Теорема 1. Точка останова алгоритма 2 – точка глобального минимума функции (2).

Доказательство. В силу выпуклости функции (2) ее локальный минимум – глобален. Следовательно, для доказательства теоремы достаточно показать, что точка (a^*, b^*) – локальный минимум функции (2).

Для наглядности дальнейших рассуждений воспользуемся рис. 3. Каждая из изображенных на нем прямых представляет множество точек, соответствующих таким значениям параметров a и b , которые обращают в ноль некоторое фиксированное слагаемое из суммы (2). Следовательно, точки пересечения этих прямых определяют те значения параметров (a, b) , при которых два или более слагаемых из (2) обращаются в ноль. Трехточия между прямыми на рис. 3 обозначают возможное наличие, помимо P_1P_m и P_kP_u , также других прямых, пересекающихся в точке M , что соответствует той ситуации, когда в этой точке обращаются в ноль более двух слагаемых.

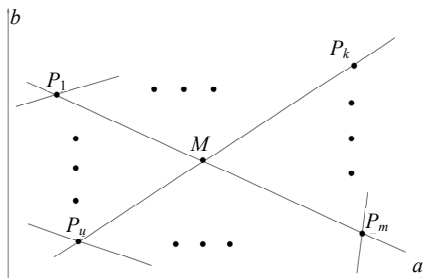


Рис. 3. Точка минимума функции (2)

Пусть количество прямых, проходящих через точку M , равняется $r/2$. Рассмотрим некоторый луч α_i , исходящий из точки M , на котором обращается в ноль одно из слагаемых в сумме (2). Возможны два случая:

- существует хотя бы одна точка P_i на этом луче, в которой более одного слагаемого из (2) обращается в ноль. Без потери общности будем считать, что на отрезке (M, P_i) обращается в ноль единственное слагаемое из суммы (2);
- на всем луче, за исключением точки M , только одно слагаемое из (2) обращается в ноль. Выберем на этом луче произвольную точку, отличную от M , и обозначим ее P_i .

Теперь точки $P_1, P_2, \dots, P_k, \dots, P_m, \dots, P_u, \dots, P_r$ выбраны таким образом, что на отрезках (M, P_i) , $i = 1, \dots, r$ обращается в ноль единственное слагаемое из суммы (2). Следовательно, на этих отрезках функция (2) – линейна.

Предположим, что алгоритм 2 закончил работу в точке M . Покажем, что в этой точке

функция (2) имеет локальный минимум. В соответствии с шагами 2–3 алгоритма 2, значения функции (2) в точках P_1, P_2, \dots, P_r не меньше, чем в точке M , иначе алгоритм перешел бы в одну из этих точек. В силу линейности функции (2) в пределах каждого из треугольников $P_1P_2M, P_2P_3M, \dots, P_{r-1}P_rM$, можно утверждать, что в каждой точке многоугольника P_1, P_2, \dots, P_r значение функции (2) не меньше ее значения в точке M . Следовательно, точка M – локальный минимум функции (2), а в силу ее выпуклости, и глобальный.

Теорема доказана.

Замечания относительно программной реализации

Повышая быстродействие программной реализации алгоритма 2, можно разбить слагаемые суммы (2) на N классов, в каждом из которых значения пар (x_i, y_i) одинаковы:

$$F(a, b) = \sum_{i=1}^N w_i \cdot |x_i - a \cdot y_i - b|,$$

где w_i – количество элементов в i -м классе.

В этом случае (9) примет вид:

$$F'(a - 0) = \sum_{i: a > \frac{\tilde{x}_i}{\tilde{y}_i}} w_i \cdot \tilde{y}_i - \sum_{i: a < \frac{\tilde{x}_i}{\tilde{y}_i}} w_i \cdot \tilde{y}_i. \quad (16)$$

На первом шаге алгоритма 0 массив A следует формировать с учетом весовых коэффициентов w_i :

$$A = \left\{ \left(\begin{array}{c} \tilde{x}_i \\ \tilde{y}_i \end{array}, w_i \cdot \tilde{y}_i \right), i = 1, \dots, N \right\}.$$

В случае когда $N \ll n$, такой прием позволяет существенно сократить количество вычислений.

Таким образом, в статье предложен эффективный алгоритм минимизации функции

$$F(a, b) = \sum_{i=1}^n |x_i - a \cdot y_i - b|. \quad (17)$$

Заключение. Алгоритм минимизации функции открывает возможность для использования метрики L_1 при постановке задач, где она ранее не участвовала из-за отсутствия эффективных

алгоритмов минимизации функции (17). К таким задачам можно отнести немало количество прикладных проблем распознавания образов, и, в частности, обработки и распознавания изображений.

1. *Стецюк П.И., Колесник Ю.С., Лейбович М.М.* О робастности метода наименьших модулей // Компьютерная математика. – 2002. – 2. – С. 114–123.
2. *Ковалевский В.А.* Корреляционный метод распознавания изображений. // Ж. выч. математики и мат. физика. – 1962. – 2, № 4. – С. 684–689.
3. *Ковалевский В.А.* Алгоритм разделения машинописной строки на знаки при отсутствии пробелов // III Всесоюз. конф. по информационно-поисковым системам и автоматизированной обработке науч.-техн. информации. – 1967. – Т. 3. – С. 156–164.

4. *Рябокоть Д.И.* Пространственная реконструкция поверхностей по стереопаре изображений с помощью алгоритмов поиска минимального сечения на графе // УСиМ. – 2004. – № 3. – С. 47–51.
5. *Рябокоть Д.И.* Восстановление пространственной конфигурации объектов и сцен по их стереоизображениям // Там же. – 2005. – № 1. – С. 22–31.
6. *Система* доступу до приміщення на основі розпізнавання людських облич / В.М. Кийко, К.В. Кийко, В.В. Мацелло та ін. // Пр. Восьмої Всеукр. міжнар. конф. «УкрОБРАЗ'2006», Київ, 28–31 серпня 2006. – С. 123–126.
7. *Алгоритмы: построение и анализ* / Т. Кормен, Ч. Лейзерсон, Р. Ривест и др. – М.: Вильямс, 2007. – 1296 с.

Поступила 16.03.2010
Тел. для справок: (044) 502-6314 (Киев)
E-mail: maxim.tischenko@gmail.com
© М.А. Тищенко, Д.А. Кордубан, 2010

Окончание статьи Г.А. Донца и др.

9 (7, 2, 1, 3, 8); 15 (8, 3, 1, 4, 9); 19 (8, 6, 2, 7, 9); 22 (7, 3, 1, 4, 8); 31 (8, 5, 2, 6, 9); 34 (9, 7, 5, 2, 6, 8); 37 (8, 6, 5, 7, 9); 38 (9, 6, 3, 1, 4, 7); 39 (6, 3, 1, 4, 7).

На каждой из этих цепей необходимо построить правильную нумерацию $f_5(3)$ или $f_6(3)$, что выполняется достаточно легко. Для деревьев 21 и 33 правильная нумерация приведена на рис. 7.

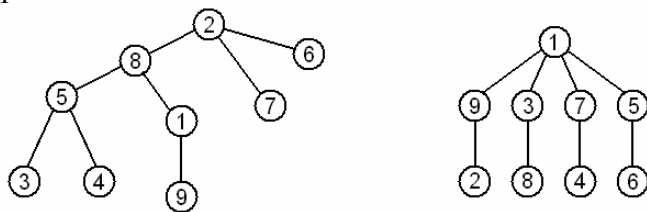


Рис. 7. Правильная нумерация графов 21 и 33

Этот метод можно применять и для деревьев более высокого порядка. На определенном уровне придется прибегнуть к помощи вычислительной техники. Как показала практика, непосредственное использование вычислительной техники для простого перебора вариантов уже для деревьев порядка 20–22 наталкивается

на непреодолимые препятствия технического характера.

Заключение. В данной статье продемонстрировано решение проблемы Роса для деревьев с числом вершин $n = 9$. Очевидно, что этот же метод можно распространить и на деревья более высоких порядков. Для этого понадобится найти правильную нумерацию для новых, более сложных, чем звезда, цепь и гусеница, конфигураций. Об этом пойдет речь в последующих публикациях.

1. *Петренюк А.Я.* Півоберткові деревні факторизації повних графів // Укр. матем. журнал. – 2001. – 53, № 5. – С. 710–716.
2. *Харари Ф.* Теория графов. – М.: Мир, 1973. – С. 267–268.
3. *Rosa A.* On certain valuations of the vertices of a graph. – New York: Gordon and Breach, 1967. – P. 349–355.
4. *Cahit A.* On graceful trees // Bull. of the ICA. – 1994. – 12 Sept. – P. 15–18.
5. *Донец Г.А.* Об одной задаче нумерации вершин деревьев // Матем. машины и системы. – 2010. – № 1. – С. 17–24.

Поступила 19.02.2010
Тел. для справок: (044) 526-2188 (Киев)
© Г.А. Донец, Д.А. Петренюк, 2010